

Classificação de instrumentos musicais utilizando Redes LSTM

Cainã Figueiredo Pereira
Raul Baptista de Souza

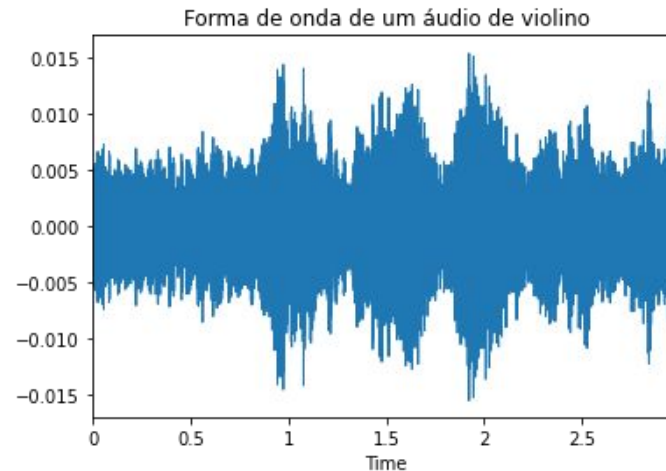
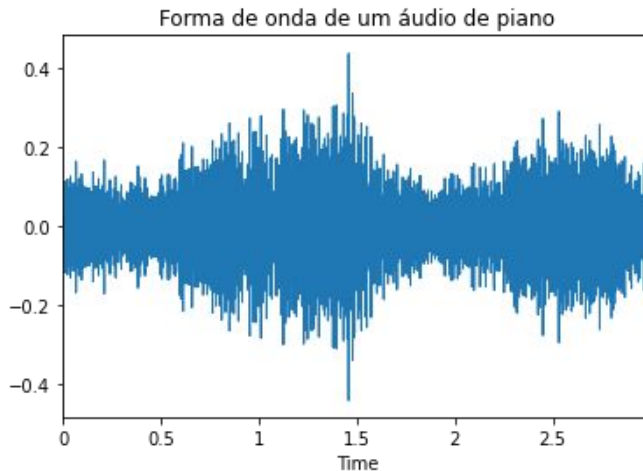
Felipe Martins Fernandes de Assis
Felipe Schreiber Fernandes

Conjunto de Dados

- IRMAS (Instrument Recognition in Musical Audio Signals) [2]
- Áudios com cerca de 3s com anotações do instrumento predominante;
 - Piano (721 áudios);
 - Violino (580 áudios);

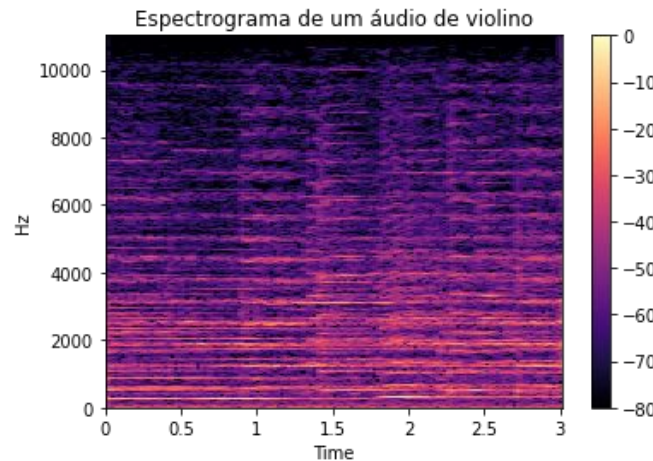
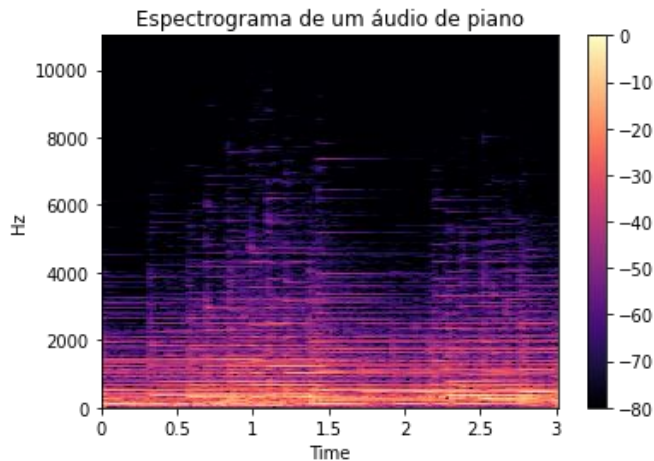
Conjunto de Dados

- IRMAS (Instrument Recognition in Musical Audio Signals) [2]
- Áudios com cerca de 3s com anotações do instrumento predominante:
 - Piano (721 áudios);
 - Violino (580 áudios);

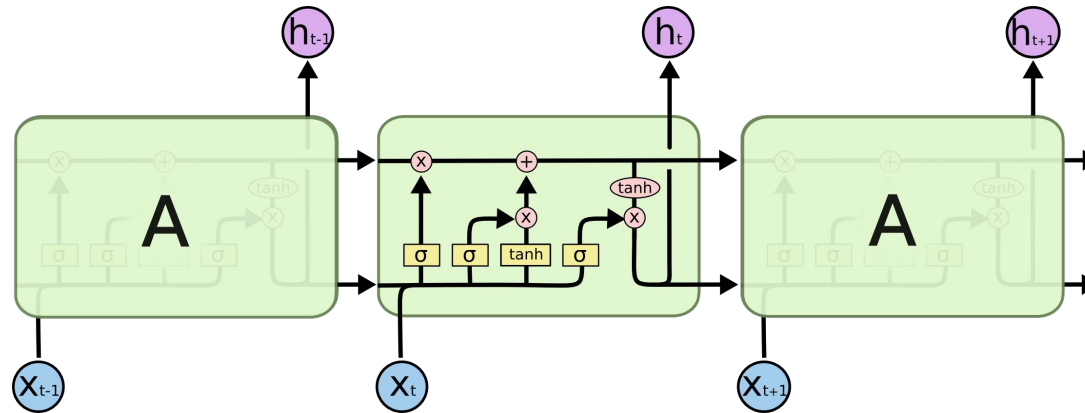


Conjunto de Dados

- IRMAS (Instrument Recognition in Musical Audio Signals) [2]
- Áudios com cerca de 3s com anotações do instrumento predominante:
 - Piano (721 áudios);
 - Violino (580 áudios);



Long Short Term Memory (LSTM)



Neural Network Layer

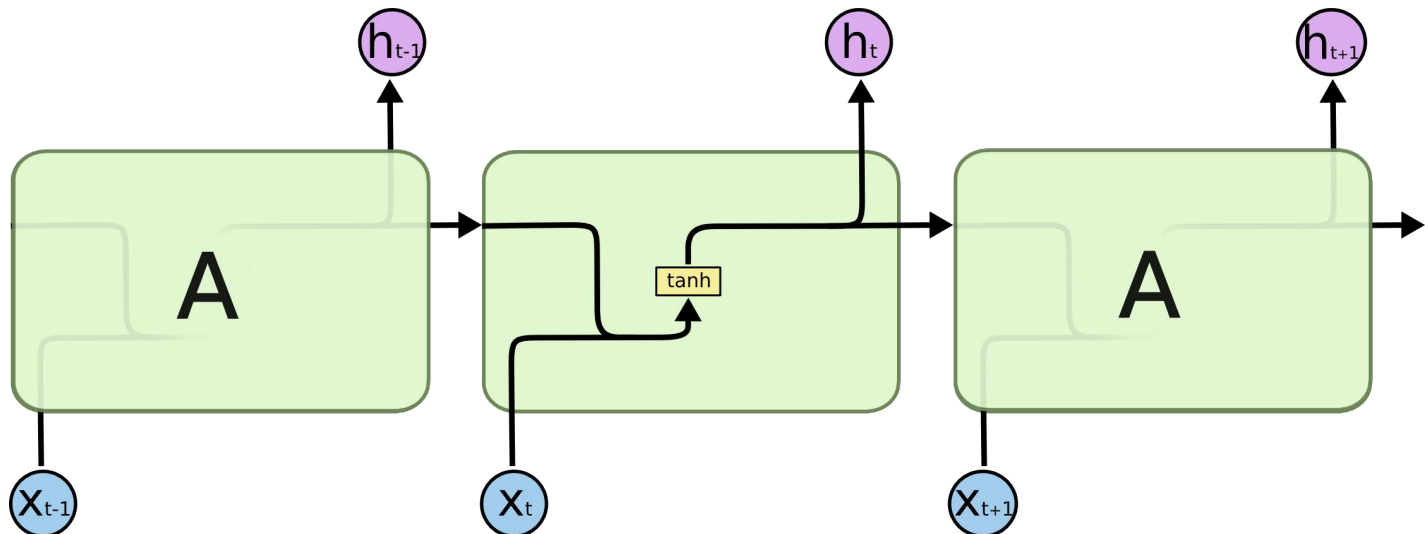
Pointwise Operation

Vector Transfer

Concatenate

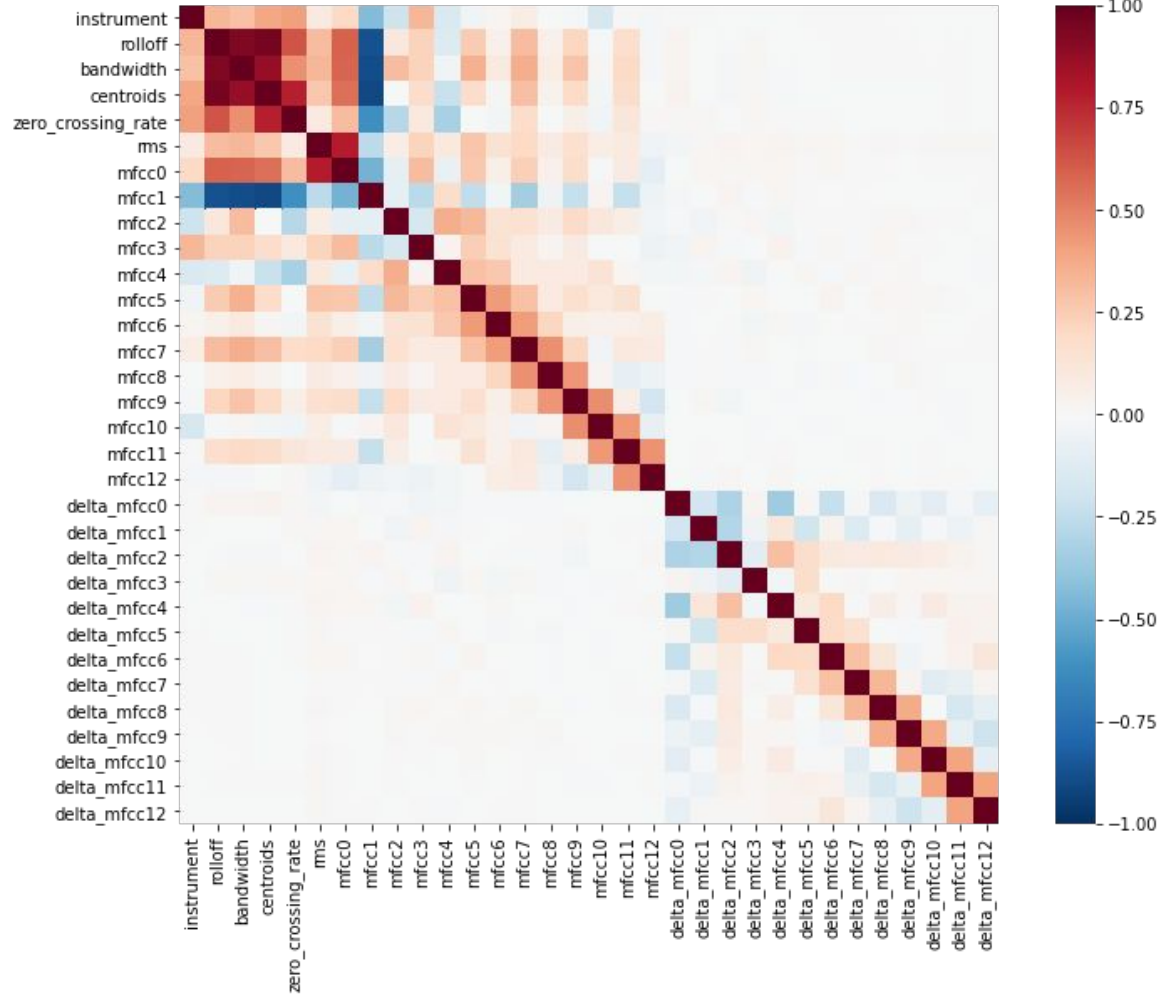
Copy

Recurrent Neural Networks (RRN)



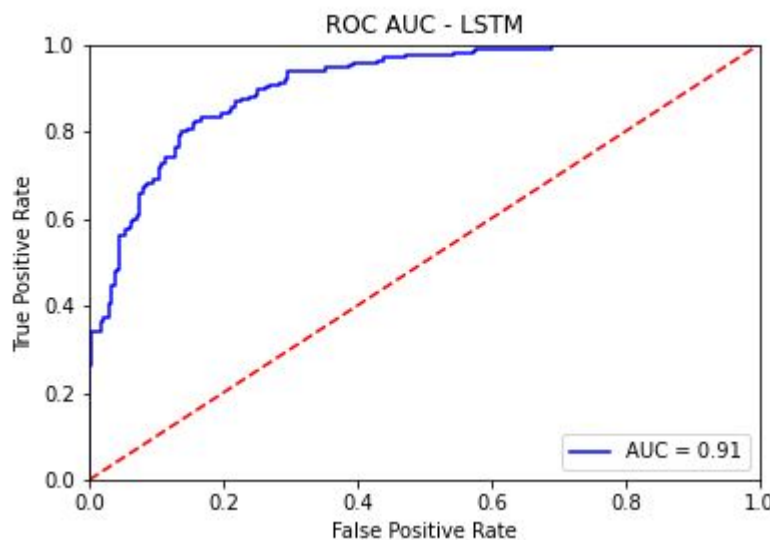
Pré-Processamento

- Áudios carregados pela biblioteca librosa
 - Normalização das amplitudes
 - Taxa de amostragem convertida de 44.1 kHz para 22.05 kHz
 - Conversão para áudios mono
- Features extraídas através da biblioteca:
 - Dois tamanhos de blocos diferentes: 93ms e 23ms
 - Spectral Centroid
 - Spectral Bandwidth
 - Spectral Rolloff
 - Zero-Crossing Rate
 - RMS Energy (Root Mean Square Energy)
 - MFCC (Mel-Frequency Cepstral Coefficients) - 13 coeficientes
 - Deltas do MFCC

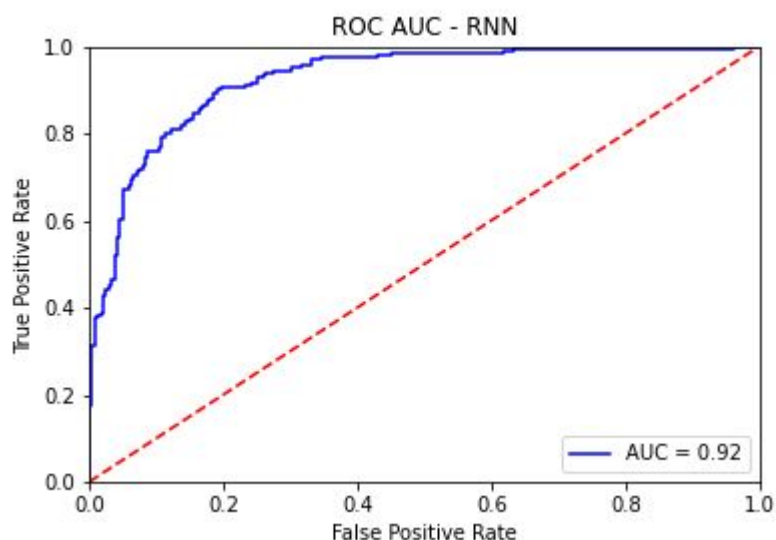


Resultados - Sem Novas Features (93ms)

LSTM:



RNN:



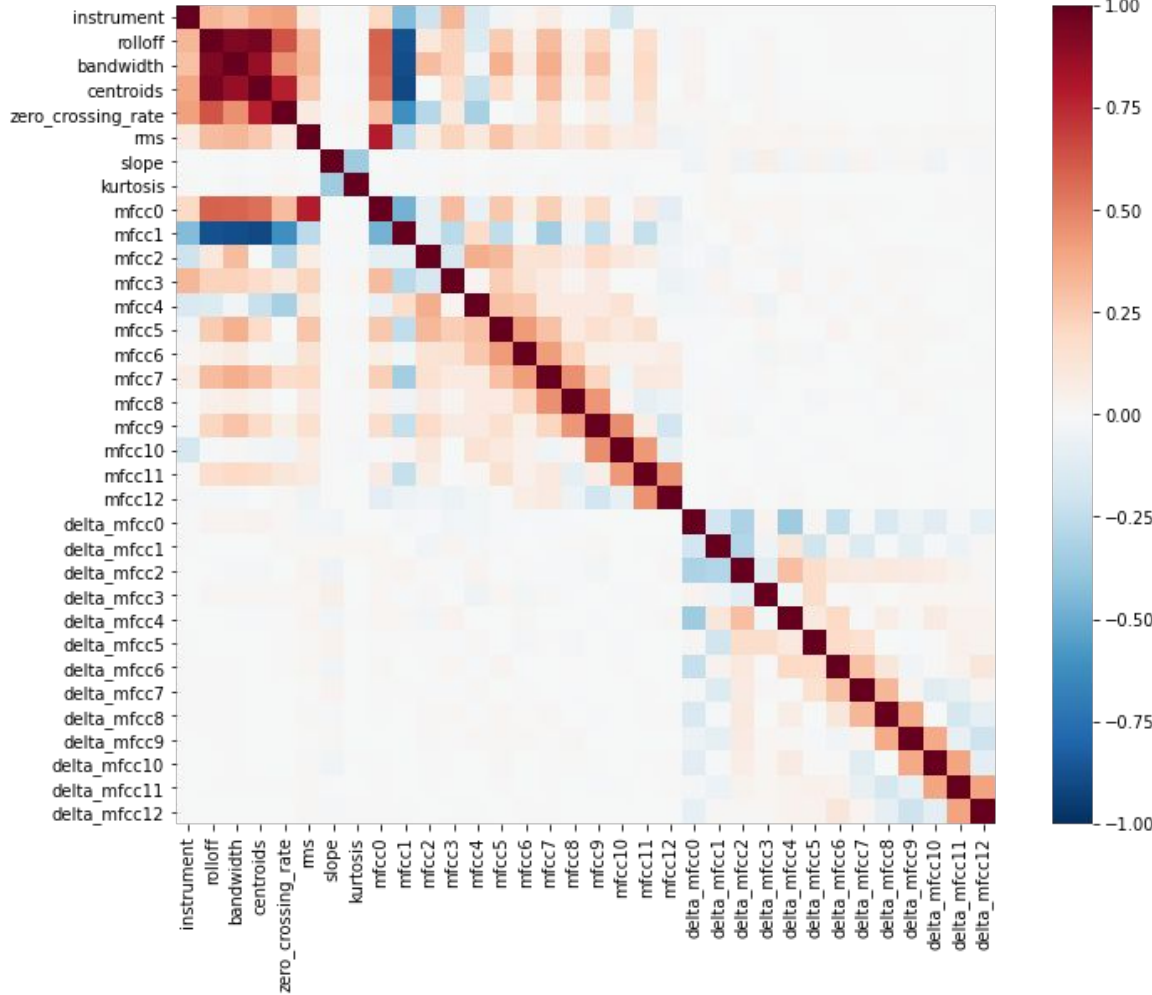
Extração de Novas Features

- Spectral kurtosis: indica a “planicidade” ou o “pico” da distribuição da energia

$$\gamma_2 = \frac{1}{\sigma^4} \int (f - \mu)^4 \cdot p(f) df$$

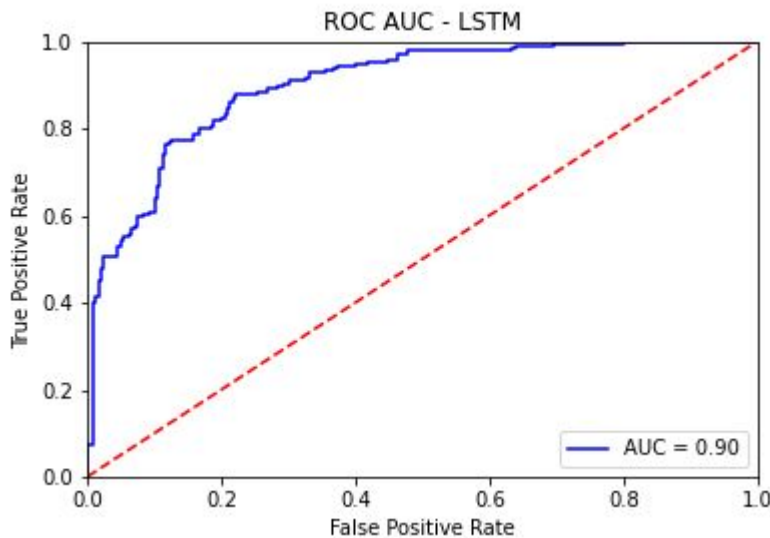
- Spectral slope: indica o quanto rápido o espectro vai em direção às altas frequências. Também dá uma indicação da taxa de decrescimento da amplitude

$$m = \frac{1}{\sum_f A(f)} \frac{N \sum_f f \cdot A(f) - \sum_f f \times \sum_f A(f)}{N \sum_f f^2 - \left(\sum_f f \right)^2}$$

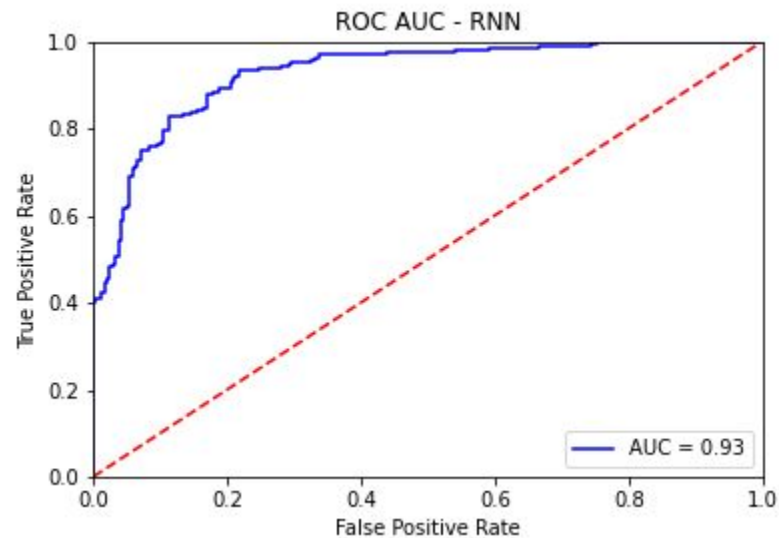


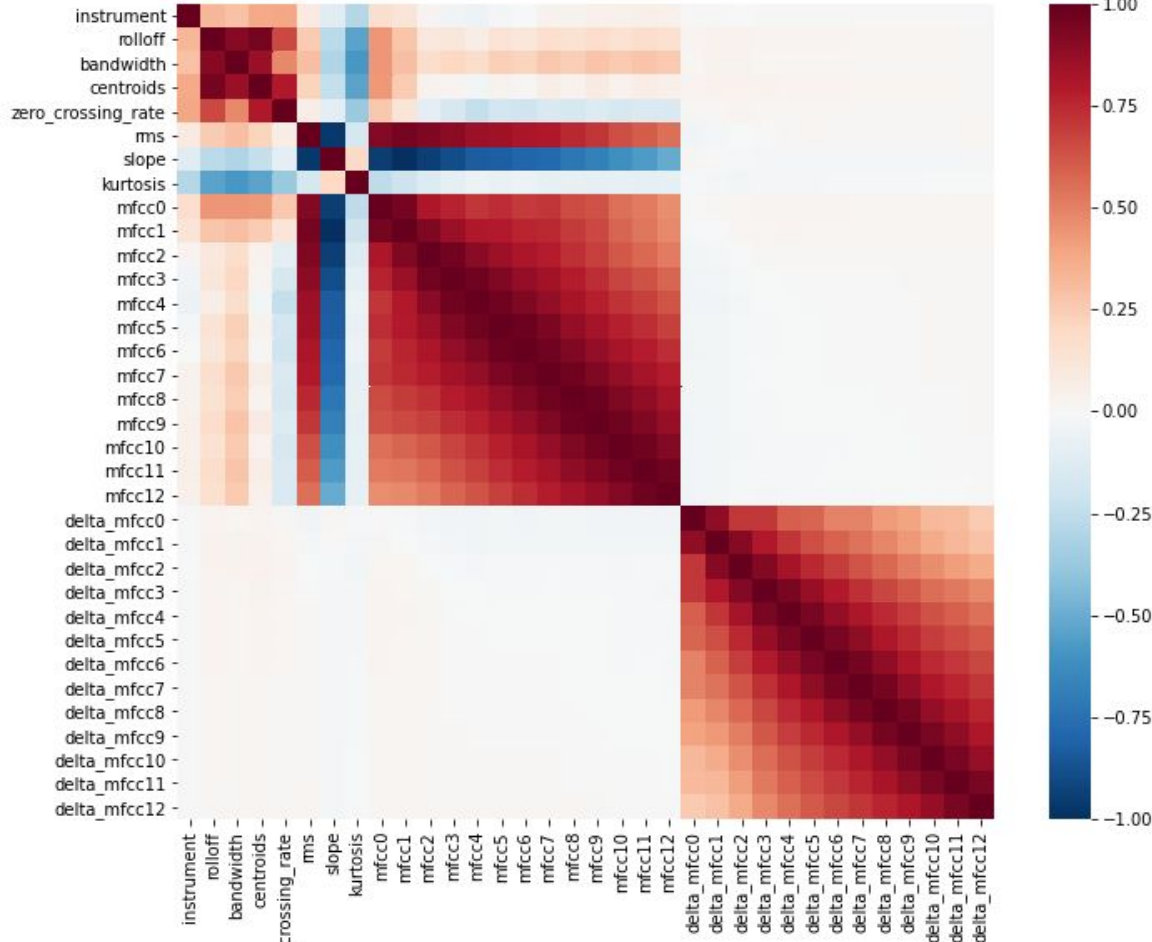
Resultados - Com Novas Features (93 ms)

LSTM:



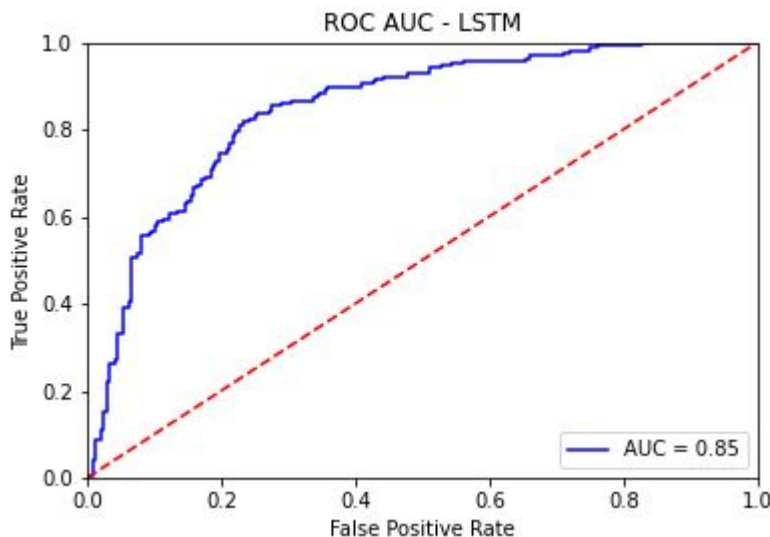
RNN:



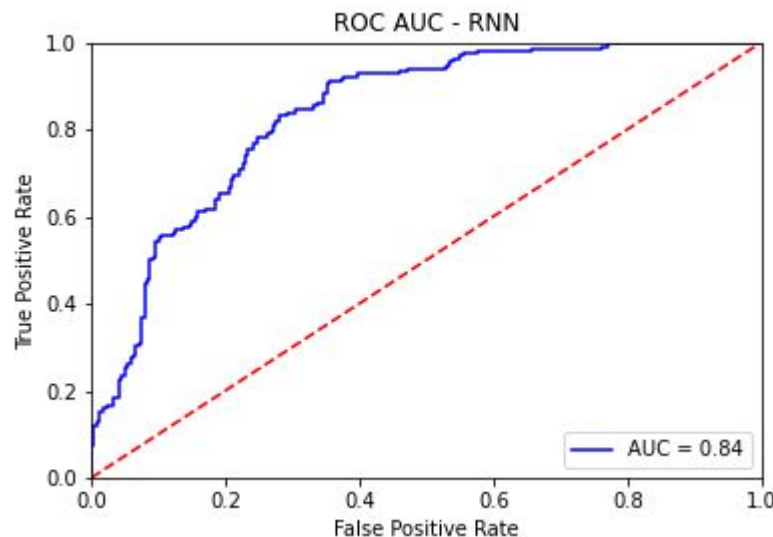


Resultados- Sem Novas Features (23 ms)

LSTM:

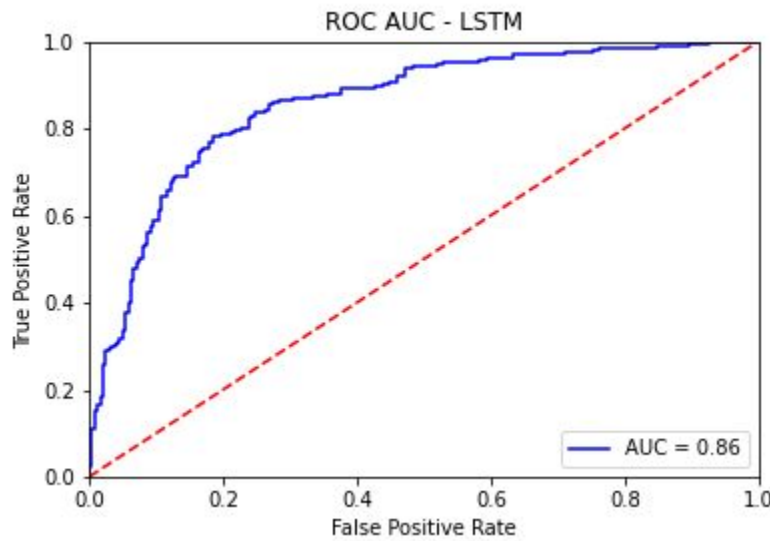


RNN:

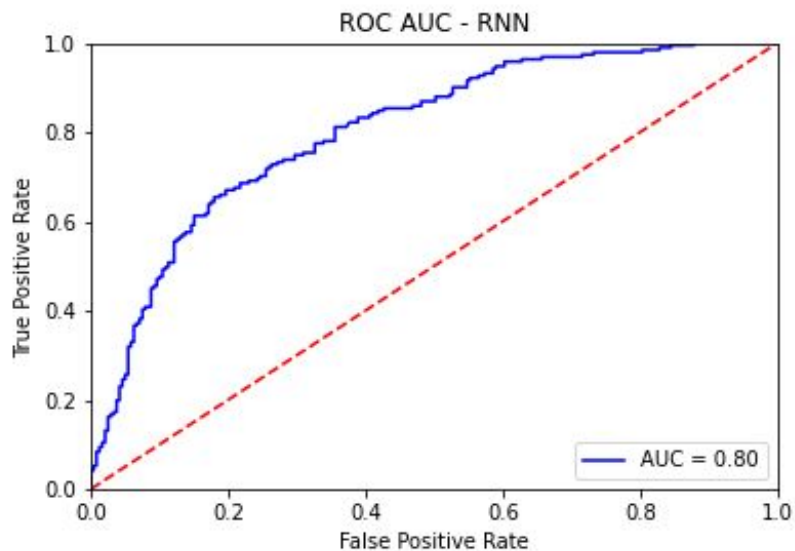


Resultados - Com Novas Features (23 ms)

LSTM:



RNN:

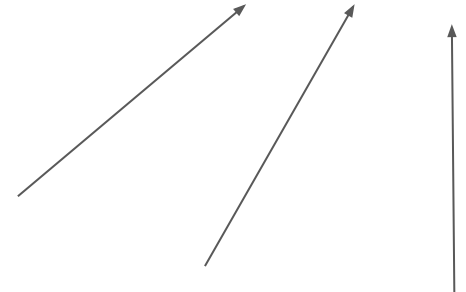


Modelo da rede neural

```
def get_LSTM_Model(input_shape):  
    model = Sequential()  
    model.add(layers.LSTM(128, return_sequences=True,input_shape=input_shape))  
    model.add(layers.LSTM(128, return_sequences=True))  
    model.add(layers.Dropout(0.8))  
    model.add(layers.TimeDistributed(layers.Dense(64,activation='relu')))  
    model.add(layers.TimeDistributed(layers.Dense(32,activation='relu')))  
    model.add(layers.TimeDistributed(layers.Dense(16,activation='relu')))  
    model.add(layers.TimeDistributed(layers.Dense(8,activation='relu')))  
    model.add(layers.Flatten())  
    model.add(layers.Dropout(0.5))  
    model.add(layers.Dense(32,activation='relu'))  
    model.add(layers.Dense(16,activation='relu'))  
    model.add(layers.Dense(8,activation='relu'))  
    model.add(layers.Dense(1,activation='sigmoid'))  
    model.summary()  
    model.compile(optimizer=opt,loss='binary_crossentropy')  
    return model
```

Quantidade de parâmetros:
LSTM - 357,561
RNN - 197,433

Entrada:
 $X.shape = (1301, 130, 32)$



#Arquivos, ou
batch_size
{32}

#Blocos/Audio
(Tamanho da
sequência)
{517, 130}

#Características/
Bloco
{32, 34}

Resumo Resultados

Rede Neural	SF / 93 ms	SF / 23 ms	CF / 93 ms	CF / 23 ms
LSTM	0.91	0.85	0.90	0.86
RNN	0.92	0.84	0.93	0.80

Conclusão:

1. Para um mesmo conjunto de características:
 - Maior a sequência, pior os modelos, mas o modelo RNN foi o mais afetado
 - Sequência maior -> LSTM melhor
 - Sequência menor-> RNN melhor
2. Modelos são menos sensíveis à adição de novas características, porém sensíveis ao tamanho da sequência
3. Na média, LSTM melhor:

LSTM 0.88000 +/- 0.00065
RNN 0.87250 +/- 0.00297

Legenda:

SF -> Sem as novas features

CF -> Com as novas features

Referências Bibliográficas

- [1] Understanding LSTM Networks. <<https://colah.github.io/posts/2015-08-Understanding-LSTMs/>>. Access: October 09, 2020.
- [2] IRMAS: a dataset for instrument recognition in musical audio signals. <<https://www.upf.edu/web/mtg/irmas>>. Access: October 09, 2020
- [3] Bosch, J. J., Janer, J., Fuhrmann, F., & Herrera, P. "A Comparison of Sound Segregation Techniques for Predominant Instrument Recognition in Musical Audio Signals", in Proc. ISMIR (pp. 559-564), 2012
- [4] MCKINNEY, Martin; BREEBAART, Jeroen. Features for audio and music classification. 2003.
- [5] Audio Data Analysis Using Deep Learning with Python (Part 1).
<<https://www.kdnuggets.com/2020/02/audio-data-analysis-deep-learning-python-part-1.html>> Access: October 13, 2020.
- [6] Chandwadkar, D.M; Sutaoneg, M.S. Proper Features and Classifiers for Accurate Identification of Musical Instruments, 2013
- [7] Audio Content Analysis. <<https://www.audiocontentanalysis.org>> Access: November 11, 2020.